

III-40 繰り返し載荷を受ける不搅乱マサ土の挙動

京大・防災研 正 柴田 徹
京大・院(現・日揮) 中村 健之

要旨：不搅乱マサ土を非排水状態で繰り返せん断したとき、応力～ひずみ関係(骨格曲線)を三軸試験によって調べた。正規圧密の領域では、種々の圧密拘束圧や繰り返し回数に対する骨格曲線のdegradation(軟化現象)が、有効応力を考慮して修正したHardin-Drnevichモデルで説明できることが示された。この表に限る限りでは、繰り返しを受けた不搅乱マサ土が、砂や粘土と特に異なった挙動をするわけではないといえる。

1. 実験方法と試料：それらの概要を、下記の表に一括して示す。

採取	鳥取県岩美郡岩美町(鎌型マサ土)。ブロックサンプリング($30 \times 30 \times 30 \text{ cm}$)。
試料	先行荷重: $1.0 \sim 1.3 \text{ kgf/cm}^2$ 。真比重: 2.653, かさ比重: 2.330, PL: 24.6%, LL: 32.5%
試験	三軸 CL の繰り返し、ひずみ振幅一定(各 σ_c ごとに3種類)、ひずみ速度: 0.2%/min., $\sigma_c: 1.0 \sim 4.0 \text{ kgf/cm}^2$, B 値 ≈ 0.8 , $\phi = 50 \text{ cm}$, $h = 10.0 \text{ cm}$ 。凍結して成型、セル内融解。

2. 結果と考察：図に従って説明する。

図-1: ひずみ振幅一定で、両振りの繰り返し($\gamma = 0.6\%$ の一例)を行ふと、繰り返し回数 N の増加とともに、せん断抵抗 τ が減少し、いわゆる degradation の現象がみられる。

図-2: 有効応力経路で、各サイクル毎の τ のピーク値を結ぶと、等ひずみ線が描かれる。この例では顯著ではないが、有効応力が減少してゼロ近くになると、cyclic mobility を示すようになる。

図-3: 拘束圧 σ_c を4種類に変えたときの骨格曲線のdegradation。すなわち各 σ_c に対して、 N が1～2回目から10回目までに、 τ の低下する範囲が描かれている。丸印を結ぶ縦の太線が、与えたひずみ振幅の位置である。

図-3では、骨格曲線が拘束圧と繰り返し回数によって異なる。これらが單一の曲線で表わせないかについて検討する。そのためには、通常の砂と粘土を対象とした既報の手法⁽¹²⁾を適用してみる。

手法の骨子は、Hardin-Drnevich(以下H-Dと略称)の双曲型骨格曲線

$$\frac{1}{\tau} = \frac{1}{G_0} \left(\frac{1}{\gamma} \right) + \frac{1}{\tau_f} \quad \dots \dots \dots (1)$$

をベースとし、有効応力を考慮して導いたもので、

$$\frac{\sigma'}{\tau} = \frac{1}{\alpha} \frac{\sqrt{\sigma'}}{\gamma} + \frac{1}{\beta} \quad \dots \dots \dots (2-a)$$

$$\alpha = G_0 / \sqrt{\sigma_c}, \quad \beta = \tau_f / \sigma_c$$

ここで τ と γ ; せん断応力とせん断ひずみ振幅, σ' ; 平均有効応力, σ_c ; 有効拘束圧, G_0 ; 初期剛性率, τ_f ; せん断強度である。式(2-a)を変形して、

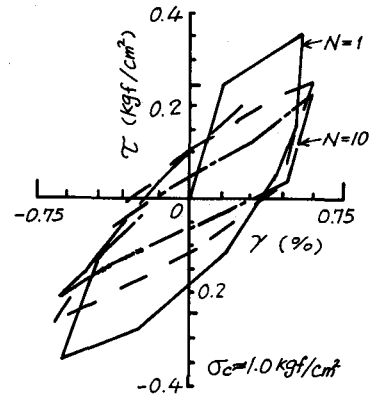


図-1 応力～ひずみ曲線

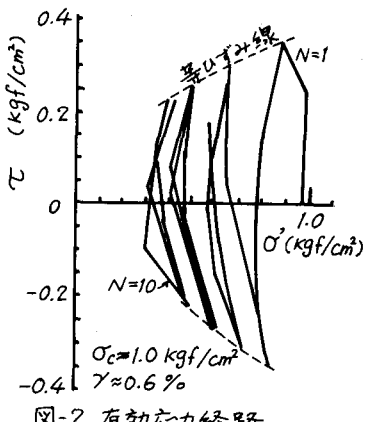


図-2 有効応力経路

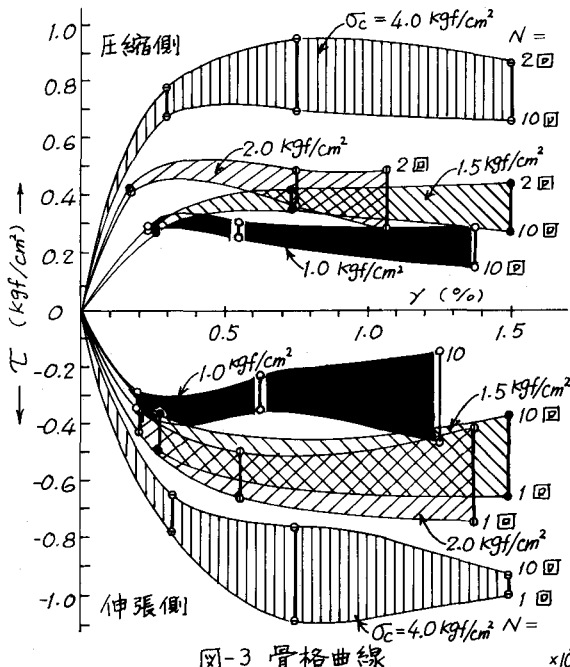


図-3 骨格曲線

$$\frac{\sqrt{\sigma}}{G} = \frac{1}{\alpha} + \frac{1}{\beta} \left(\frac{\gamma}{\sqrt{\sigma}} \right) \quad \dots \quad (2-b)$$

$\therefore \kappa G = \tau / \gamma$ で等価剛性率。

式(1)のオリジナルH-Dモデルγ、式(2)の修正モデルγを対照すれば、各項は次のように対応していることになる。式(1)→式(2)。

$$\tau \rightarrow \tau / \sigma, \quad \gamma \rightarrow \gamma / \sqrt{\sigma},$$

$$G_0 \rightarrow d = G_0 / \sqrt{\sigma_c}, \quad \tau_f \rightarrow \beta = \tau_f / \sigma_c$$

図-4: 不擾乱マサ土に対する、式(2)の検証結果である。ひずみレベルが比較的低い範囲では、拘束圧や繰り返し回数の違いに拘らず、式の直線関係が成立している。これより式中の d と β が求まり、初期剛性率 G_0 に係わる d は圧縮と伸張側で等しいが、 $\beta (= \tau_f / \sigma_c)$ は伸張側でやや小さい。因みに別途行なった単調載荷のCU試験で、 β (圧縮) $\approx 0.8 \sim 0.9$ 、 β (伸張) $\approx 0.6 \sim 0.7$ と値が得られてゐる。

図-5: 修正H-Dモデルによる骨格曲線の表示で、図-3と対応する。すなわちそれぞれに幅をもち、形も違つて τ ~ γ 曲線(図-3)は、 $\tau / \sigma^* \sim \gamma / \sqrt{\sigma}$ (図-5)にプロットすれば、この程度のひずみ振幅のレベルでは、单一の曲線で表わすことができる。なお図-2で触れた $\tau - \sigma$ 座標における等ひずみ線についても、式(2)によって説明が可能である。

付記: 過圧密領域での挙動、繰り返し載荷による過剰間隙水圧の蓄積パターンなども同時に調べたが、紙数の都合で省略した。いずれにしても是活性的には、特殊土としてのマサ土の特徴といえるものは見当らない。

本研究は、自然災害特別研究(マサ土地盤における土砂災害の予測と防止、代表・網干教授)の一環である。

文献: 1)柴田, Soelarno: 繰返し載荷を受ける砂質土の応力・ひずみ特性, 土木学会論文報告集, 239号, 1975, pp. 57-65.

2) 同上: 繰返し載荷を受ける粘性土の応力・ひずみ特性, 土木学会論文報告集, 276号, 1978, pp. 101-110.

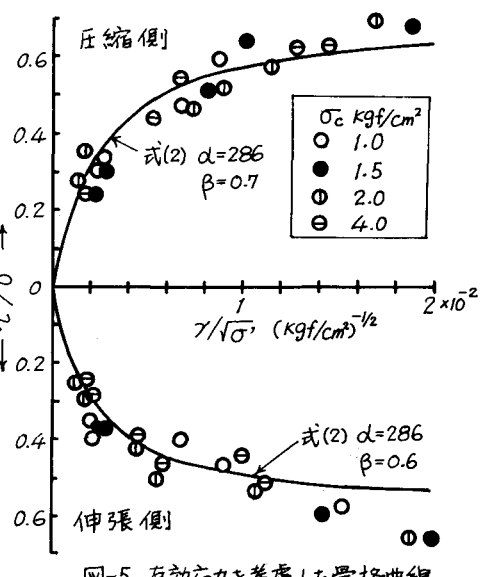


図-5 有効応力を考慮した骨格曲線

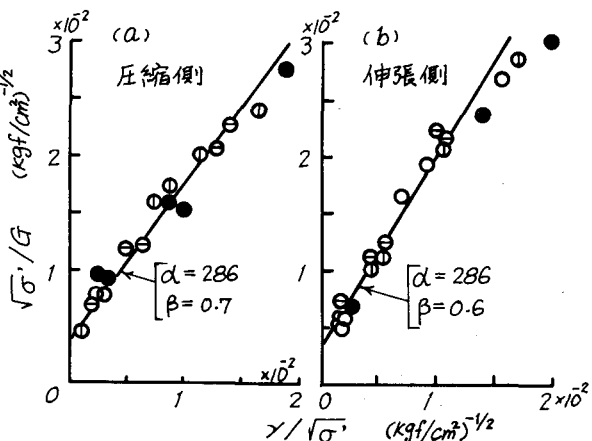


図-4 式(2)の検証(記号は図-5参照)